



Mejores Técnicas Disponibles (MTDs) asociadas al tratamiento y gestión de las emisiones atmosférica de olor/odorantes

Prof. Germán Aroca A., Ph.D

Escuela de Ingeniería Bioquímica

Pontificia Universidad Católica de Valparaíso

Contenido

- Principales compuestos causantes del olor
 - Composición de emisiones gaseosas
 - Principales componentes
 - Generación
 - Eliminación
- Operaciones y Equipos de mitigación de olor
 - Mejores tecnologías disponibles para planteles porcinos
 - Biofiltros
 - Biofiltros de escurrimiento (Biotrickling)
 - Lavadores ácidos
 - Sistemas multietapas

Principales compuestos causantes de olores

En planteles porcinos

Composición química del olor

- El olor es medible pero esta compuesto por compuestos químicos volátiles que son los que deben ser removidos (oxidados, reducidos, consumidos, biodegradados ...) para eliminar o mitigar el olor

Zahn, J. A., J. L. Hatfield, Y. S. Do, A. A. DiSpirito, D. A. Laird, and R. L. Pfeiffer. 1997. Characterization of Volatile Organic Emissions and Wastes from a Swine Production Facility. *J. Environ. Qual.* 26:1687-1696.
doi:10.2134/jeq1997.0047242500260060032x

¿NH₃, H₂S?

Table 2. Qualitative and quantitative chemical analysis of organic compounds present in liquid swine manure sampled from the waste storage basin.

Compound†	Analyte concentration, mg L ⁻¹			
	Organic‡ liquid- phase	SPME§ liquid- phase	SPME gas- phase	Relative gas-phase equilibrium§
Dimethyl disulfide	nd¶	nd	8.5	-
3-Octanone	nd	nd	2.0	-
1-Pentanal	nd	nd	2.6	-
Dimethyl trisulfide	nd	nd	7.6	-
2-Undecanone	nd	nd	59.3	-
Acetic acid	nd	639.9	546.5	100
Propionic acid	nd	306.7	233.2	77
2-Methyl propionic	nd	27.3	26.4	83
Butanoic acid	4.4	106.6	118.1	44
3-Methyl butanoic acid	nd	25.5	38.8	50
Pentanoic acid	2.0	28.6	37.8	32
4-Methyl pentanoic acid	nd	3.5	3.5	34
Hexanoic acid	4.6	16.2	9.3	26
Heptanoic acid	nd	3.9	nd	24
Phenol 2-6 bis(1,1-dimethylethyl) 4-methyl	nd	nd	2.2	-
Phenol	19.5	22.0	26.8	21
Octanoic acid	1.2	1.4	nd	-
4-Methyl phenol	3.9	4.9	5.6	27
3-Methyl phenol	0.7	nd	1.1	-
2-Piperidinone	nd	1.9	nd	-
4-Ethyl phenol	11.0	11.8	18.1	31
2-Amino acetophenone	nd	2.5	1.8	-
Benzoic acid	nd	4.0	nd	-
Indole	4.6	4.8	5.3	27
3-Methyl indole	11.9	10.2	13.7	29

Clasificación de compuestos causantes de olores

- Compuestos nitrogenados reducidos (NRC)
 - NH₃, Aminas primarias, secundarias, terciarias, pirazinas...
- Compuestos Orgánicos Volátiles (VOC)
 - Ac orgánicos, aldehídos, cetonas, alifáticos,....
- Compuestos azufrados reducidos (TRS)
 - H₂S, Dimetilsulfuro, Dimetildisulfuro,...

Umbral de detección olfativo	
Nitrogenados reducidos	ppm
Methylamine	0.021
Dimethylamine	0.047
Trimethylamine	0.00021
Skatole	0.019
Ammonia	46.8
VOCs	ppm
Acetaldehyde	0.21
Propionaldehyde	0.0095
Acetic acid	1.0
Propionic acid	20.0
Butyric acid	0.001
Azufrados reducidos	ppm
Methanethiol	0.0021
Ethanethiol	0.001
Propanethiol	0.00074
t-Butythiol	0.00009
Dimethyl sulfide	0.001
Hydrogen sulfide	0.0072

Liu et al, 2014. A Review of Practices and Technologies for Odor Control in Swine Production facilities. *Applied Engineering in Agriculture* 30 (3) 477-492.

Table 1. Emission rates from swine facilities and concentrations at the edge of swine facilities for odor, VOC, NH₃, and H₂S.

Concentrations at the Edge of Swine Facilities	Emission Rates from Swine Houses	Emission Rates from Manure Storage Facilities
Odor	120 (40~960) OU/m ³ ^[a]	5 (0.4~24) OU/s/pig ^[b]
VOC	50 (1~27700) µg/m ³ ^[c]	0.4 (0~4.4) kg/yr/pig ^[d]
NH ₃	6 (0.3~16) ppm ^[e]	2.8 (0~32) kg/yr/pig ^[b]
H ₂ S	20 (2~115) ppb ^[f]	0.1 (0~3.1) kg/yr/pig ^[b]

Note: Values before the parentheses are medians; values within the parentheses are ranges reported in literature.

References:

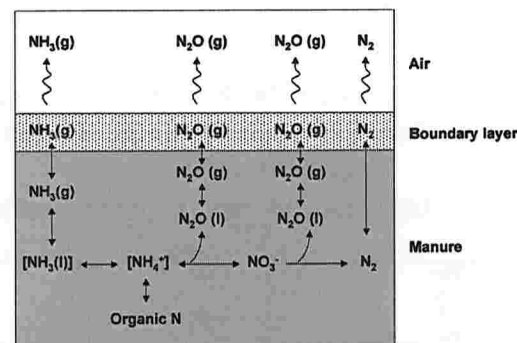
- [a] Lim et al., 2001; Lim et al., 2003; Godbout et al., 2009; Rahman and Newman, 2012.
- [b] Jacobson et al., 2003; Lim et al., 2003; Lim et al., 2004; Sun et al., 2010.
- [c] Heber et al., 2000a,b; McGahan et al., 2001; Lim et al., 2003; Bicudo et al., 2004.
- [d] Schiffman et al., 2001; Zahn et al., 2001b; Hernandez et al., 2012; Parker et al., 2012.
- [e] Heber, 2010; Li et al., 2011.
- [f] Zahn et al., 1997; Zahn et al., 2001b; Bicudo et al., 2004; Rumsey et al., 2012.
- [g] Lim et al., 2000a; Childers et al., 2001; Zahn et al., 2001b; Walker et al., 2008.
- [h] Liu et al., 2013.
- [i] Zahn et al., 2001b; Lim et al., 2003; Hoff et al., 2009; Thorne et al., 2009.

Concentración promedio en pabellones de cerdos

	Promedio	Rango	Unidades
Olor	120	40-960	OU/m ³
VOC	50	1 – 27700	ug/m ³
NH ₃	6	0,3 - 16	ppm
H ₂ S	20	2 - 115	ppb

Amoniaco NH₃

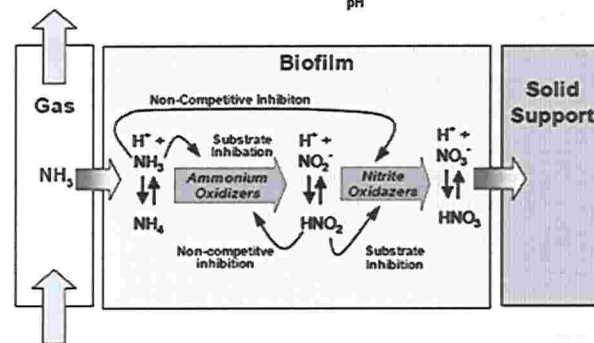
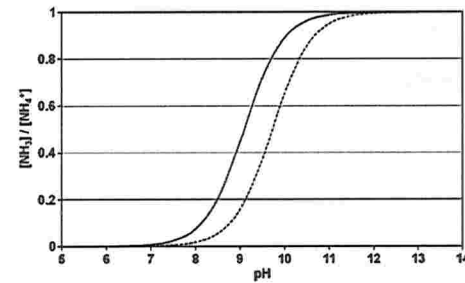
- Gas incoloro, tóxico, reactivo, corrosivo, con un olor muy agudo
- Más liviano que el aire
- Muy soluble en agua, donde se encuentra ionizado en la formar de ion amonio NH₄⁺.
- Solubilidad en agua depende de:
 - pH, temperatura, otros compuestos disueltos y presión atmosférica
- Detección olfato humano > 50 ppm.
- Entre 50 y 100 ppm: irritación de los ojos y tracto respiratorio.



- Mineralización de la proteína no digerida por degradación microbiana
 - Descomposición aerobia del ac. úrico
- $$\text{C}_5\text{H}_4\text{O}_3\text{N}_4 + 1,5 \text{ O}_2 + \text{H}_2\text{O} \rightarrow 5 \text{ CO}_2 + 4 \text{ NH}_3$$
- Hidrólisis de la urea
- $$\text{CO}(\text{NH}_2)_2 + \text{H}_2\text{O} \rightarrow \text{CO}_2 + 2\text{NH}_3$$

Eliminación de amoníaco

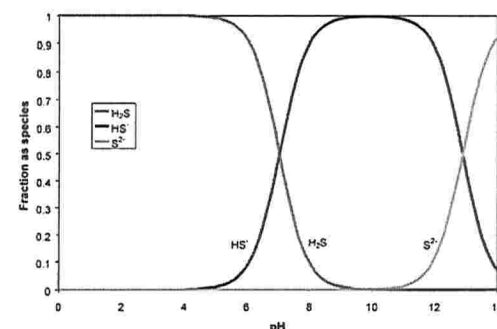
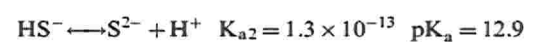
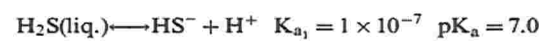
- Eliminación química
 - Absorción en soluciones ácidas ej.: Solución de ac. sulfúrico
- Eliminación biológica
 - Amonio es fuente de nitrógeno para el crecimiento de microorganismos
 - Nitrificación biológica



Sulfuro de Hidrógeno - H₂S

Ac. Sulfídrico_(a)

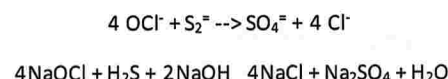
- Producido por bacterias reductoras de sulfato utilizando fuentes de carbono como donadores de electrones
- Gas altamente soluble en agua
- Los problemas de olor asociados con H₂S son, altamente dependientes del pH del medio en que se encuentre.
- pH menor que 5, todo está como H₂S y en equilibrio físico con la fase gaseosa;
- a pH 10 está mayoritariamente como HS⁻
- pH de alrededor de 7, H₂S y HS⁻ estarán presentes en una solución próxima a una proporción igual (50% para cada uno).



Ácido Sulfídrico

Sistemas de eliminación Físico-químicos

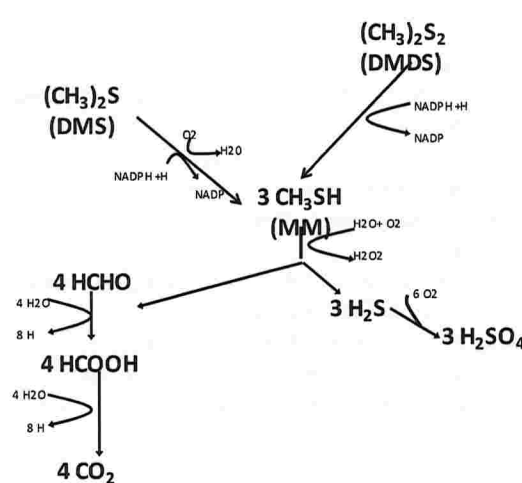
- Reacción química en fase líquida
 - Alkilaminas
 - Sales alcalinas
 - Absorción en fase líquida
 - Sulfinol (sulfolane y di-isopropanol amina)
 - Selexol (Dimetileter o polietilenglicol)
- Adsorción en fase sólida
 - Espuma de fierro (oxido de fierro) $\rightarrow S^{\circ}$
 - Tamiz molecular (aluminiosilicatos alcalinos) $\rightarrow S^{\circ}$
 - Conversión directa
 - Stretford (carbonato de sodio, Vanadato de sodio..) $\rightarrow S^{\circ}$
 - Lo-cat (ión ferrico) $\rightarrow S^{\circ}$



Ácido Sulfídrico

Oxidación biológica

- Clorobium limicola*
 $\text{H}_2\text{S} + 2 \text{CO}_2 + 2 \text{H}_2\text{O} \rightarrow 2 \text{CH}_2\text{O} + \text{H}_2\text{SO}_4$
- Xanthomonas sp*
- Thiobacillus denitrificans*
- Thiobacillus thioparus*
- Acidithiobacillus thioxidans*
- Acidithiobacillus ferrooxidans*
 - $\text{H}_2\text{S} \rightarrow \text{S}^{\circ} \rightarrow \text{SO}_4^{=2-}$



Biofiltración mezclas de TRS

Microorganisms	Biooxidation			
	H ₂ S	MT	DMS	DMDS
<i>T.thioparus</i> DW44	+++	++	++	+
<i>Hyphomicrobium</i> sp. I55	++++	+++	++	+
<i>Xanthomonas</i> sp.DY44	++++	+++	-	-
<i>Thiobacillus</i> sp.HA43	+++	+++	-	-

Gas	gS/kg dry peat'd
H ₂ S	5.52
MM	1.16
DMS	0.5
DMDS	1.02

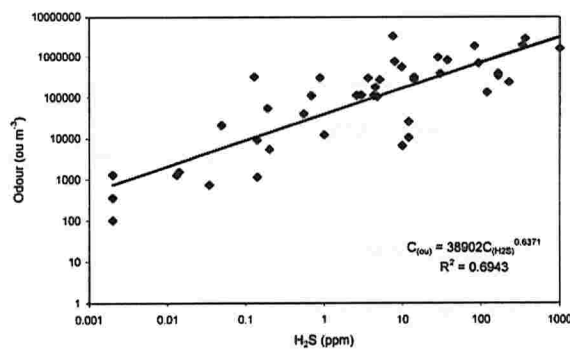
13

Operaciones y Equipos de mitigación de olor (*end of pipe*)

Planteles porcinos

Características de los Problemas de Olores

- Compuestos volátiles en bajas concentraciones y con umbral de detección olfativo muy bajo
- Necesidad de remoción muy elevada; sobre 95%
- Volúmenes a tratar (Flujos) altos
- Baja correlación entre concentración de compuestos olorosos y olor



P. Gostelow, S.A. Parsons, R.M. Stuetz 2001 Odour measurements from sewage treatment works, Water Research 35 (3) 579-597
[http://dx.doi.org/10.1016/S0043-1354\(00\)00313-4](http://dx.doi.org/10.1016/S0043-1354(00)00313-4)

15

Pabellones de crianza abiertos *Control de temperatura*



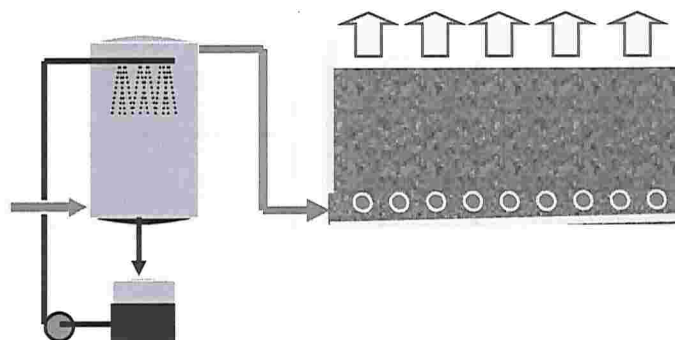
Table 4.129: Types of exhaust air cleaning systems in animal housing, their applicability and removal performance					
Type of air cleaning system	Applicability		Removal performance		
	Animal category	Manure removal system	Odour	NH ₃	Dust
Biofilter	Pigs	Liquid manure system	++	NS	+
Biotrickling filter	Pigs	Solid and liquid manure system	+	+	+
Acid scrubber	Pigs, dry manure store	Solid and liquid manure system	NS	++	+
MULTI-STAGE AIR CLEANING SYSTEMS					
Two stages					
Water scrubber + acid scrubber	All animal categories	Liquid and solid manure system	0/+	++	++
Water scrubber + biofilter	All animal categories	Liquid and solid manure system	++	0/+	++
Acid scrubber + biofilter	All animal categories	Liquid and solid manure system	++	++	++
Acid scrubber + biotrickling filter	All animal categories	Liquid and solid manure system	+	++	++
Three stages					
Water scrubber + water scrubber + acid scrubber	All animal categories	Liquid and solid manure system	++	+	+++
Water scrubber + acid scrubber + biofilter	All animal categories	Liquid and solid manure system	+++	+++	+++
NB: NS= not suitable; 0 = conditionally suitable; + = suitable ++ = good; +++ = very good					
Source: [424, VERA 2010]					

Biofiltración

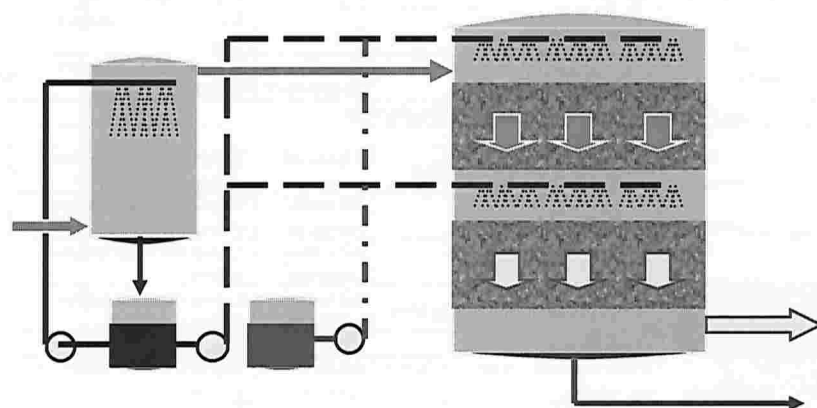
Biofiltro

Operación de tratamiento que utiliza poblaciones microbianas puras o mixtas establecidas sobre un soporte orgánico de elevada porosidad (área específica), a través del cual atravesía el gas, donde los contaminantes son degradados por la biomasa activa contenida (adherida) en el soporte.

Biofiltro de lecho abierto

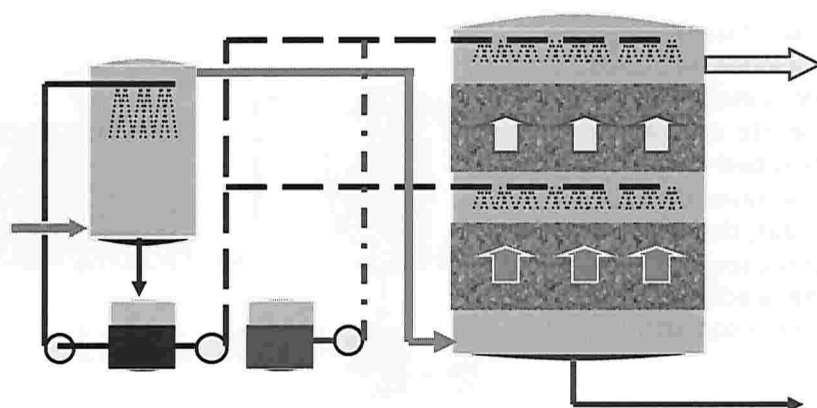


Biofiltro de lecho cerrado



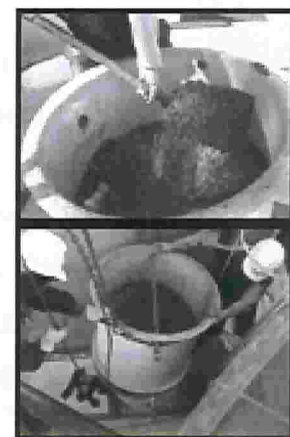
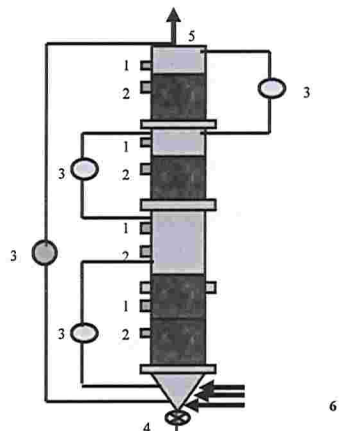
G Aroca 2018

Biofiltro de lecho cerrado



G Aroca 2018

Sistema de control de olores Biofiltro



21

Materiales utilizados como lecho biofiltrante

Orgánicos

- Turba
- Compost
- Bagazo
- Cascarilla de arroz
- Escobajo
- Chips de madera



Inorgánicos

- Vermiculita
- Perlita
- Conchuela
- Espumas de poliuretano



G Aroca 2018

Biofiltros; Características de los Rellenos

- Alto contenido de material orgánico → Efecto sobre el diseño
- Alta superficie específica → Eficiencia remoción
- Buena retención de agua → Altura del lecho
- Baja densidad → Tiempo de residencia del gas
- Porosidad →
- Granulometría homogénea →
- Baja pérdida de carga → Eficiencia energética
- Buena capacidad buffer para mantenimiento de pH →

Biofiltros de 1ra generación



- 17,000 m³/hr
- olores residuos avícolas.

Fuente Bohn Biofilters Co.

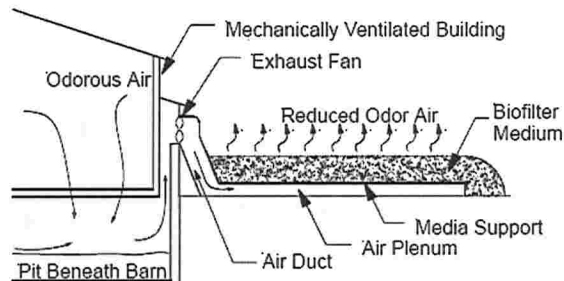


Figure 1. Schematic of a typical open bed biofilter.

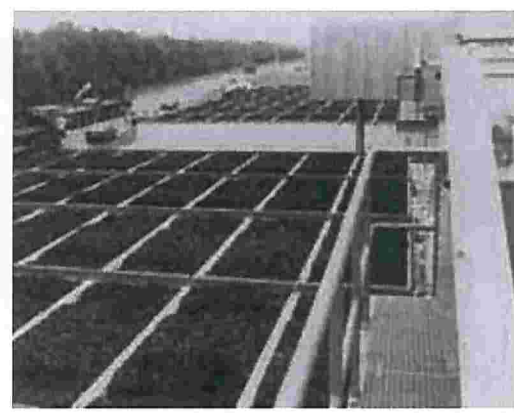
David Schmidt, Kevin Janni, Richard Nicolai Biofilter Design Information. Biosystems and Agricultural Engineering Update. Department of Biosystems and Agricultural Engineering, College of Agricultural, Food and Environmental Sciences, University of Minnesota, March 2004

Germán Aroca A. EIB/PUCV

Biofiltros de 2a generación AMETEK Rotron



AMETEK Rotron



Envirogen (Planta Viscosa)
750 m³/min

26

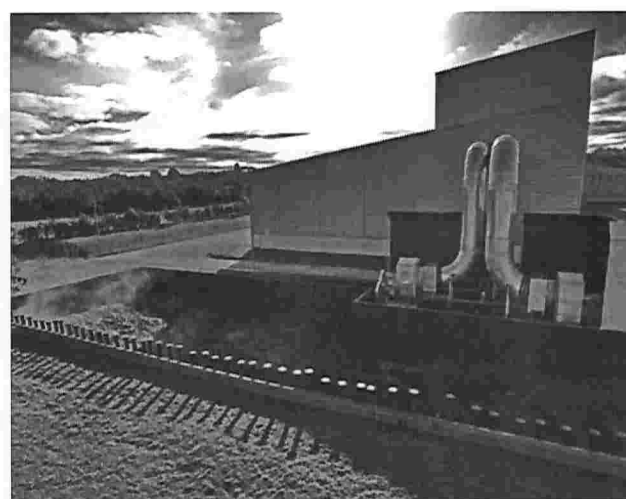
Biofiltro
Exp. Los Fiordos
Planta de Alimentos
Pargua, Chile

Sistema de tratamiento de olores que se utiliza en la planta elaboradora de alimentos para peces de la empresa Exportadora Los Fiordos Ltda., capacidad de producción 75.000 Ton/año, con proyección de duplicar capacidad, ubicada en el sector Los Calafates, a 2 km. al Noreste de Pargua, Comuna de Calbuco, Provincia de Llanquihue, Región de Los Lagos.

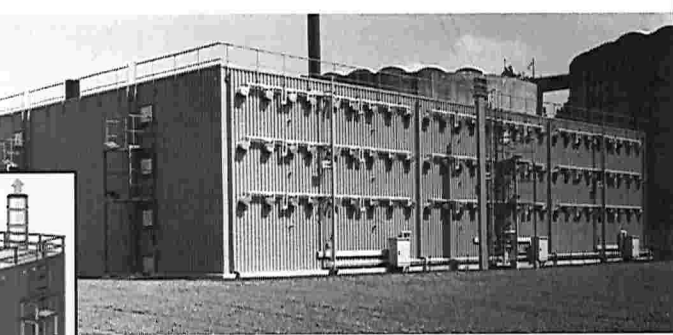
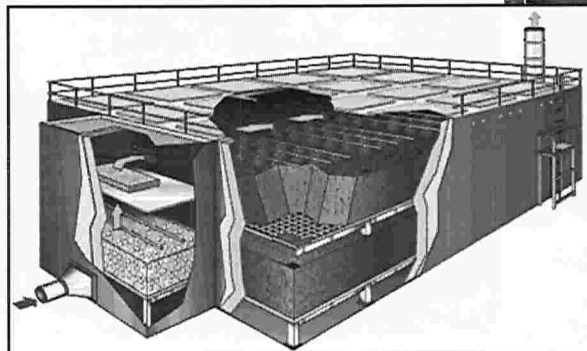
Entró en operación en diciembre del 2007.

Eficiencia de remoción de olores > 99,7 %

Ref:



Biofiltros 3a. Generación



Clairetech Co., Vol. 2,000 m³, 75,000 m³/h,
Industrial y PTAR

Biofiltros

Características generales

Parámetro		Unidad
Altura del lecho	0,5-3	m
Rango de flujos tratados	50 - 300	$\text{m}^3/\text{m}^3 \text{ h}$
Rango de conc. tratadas	0 - 5	g/m^3
Rango de cargas tratadas	0 - 500	$\text{gr}/\text{m}^3 \text{ h}$

Germán Aroca A. EIB/PUCV

Biofiltración de Amoniaco

Materiales de relleno utilizados

Material de relleno	Velocidad de remoción $\text{g NH}_3/\text{m}^3 \text{ h}$	Eficiencia de remoción	Referencia
Compost, burk mulch, chips de madera	1	Pinnette, Giggey, Marcy & O'Brien, 1994	
Compost, conchas de ostras, perlite	10.6	96.40%	Kapahi & Gross, 1995
Mezcla de compost y carbón activo	0.8-16	95-99.7%	Yonkun Liang, et al., 2000
Turba		98.30%	Bonnin, Martin & Gragnic, 1994
Chips de madera		70-95%	Sheridan, Curran & Dodd, 2002
Biofiltro de escala industrial, compost agrícola	1.8	>97%	Pistarino, 2002

- Velocidades de flujo: 0.005 - 0.025 m/s, normalmente entre 0.015-0.02 m/s
- Caídas de presión esperadas para estas velocidades: 20 - 120 mm H_2O por metro de profundidad.
- Mayores caídas de presión en compost denso y tierra.
- Porcentajes de remoción: 70-98 %.

Liu et al, 2014. A Review of Practices and Technologies for Odor Control in Swine Production facilities. *Applied Engineering in Agriculture* 30 (3) 477-492.

Table 6. Effectiveness of biofilters for reducing odor, H₂S, and NH₃ emissions.

References	Description of Biofilters ^[a]	Reduction in Emissions		
		Odor (%)	H ₂ S (%)	NH ₃ (%)
Akdeniz and Janni, 2012	Fiat-bed, depth = 0.3~0.4 m, EBRT = 5~7 s.	-	49~85	53~86
Chen and Hoff, 2012	Wood chip-based, moisture = 72%, EBRT = 3.7~5.5 s.	51	83	41
Lim et al., 2012	Wood chip-based, depth = 1.27~2.54 m, EBRT = 0.3~0.6 s, pressure drop = 29.6~57.2 N/m ² .	-	23.6~42.4	18.1~45.8
Chen et al., 2009	Wood chip-based, moisture = 60%, EBRT = 1.6~7.3 s.	70.1~82.3	81.8~88.6	43.4~74
Nicolai et al., 2006	50:50 mixture of yard waste compost and wood chips, moisture = 40~60%, EBRT = 5 s.	-	-	76.7~82.3
Chang et al., 2004	70:30 mixture of pine and perlite, moisture = 60~80%, EBRT = ~10 s.	-	82.4	95.6
Sheridan et al., 2002	Wood chip-based, moisture = 64~69%, pH = 6~8, pressure drop = 14~64 N/m ² , EBRT = 2~5 s.	77~95	-	54~93
Hartung et al., 2001	Coconut fiber and peat fiber mixture, EBRT = 3~40 s.	78~80	-	15~36
Nicolai and Janni, 2001	70:30 mixture of wood chips and compost, moisture = 54.7%.	Up to 78.8	Up to 87	Up to 81
Sun et al., 2000	Mixture of wood chips and compost, moisture = 30~50%, EBRT = 5~20 s.	-	47~94	25~90
	Mixture of wood chips and compost, moisture = 50%, EBRT = 20 s.	-	93~94	76~90
Nicolai and Janni, 1997	Compost/bean straw, EBRT = 8.8 s, pressure drop = 25~47 N/m ² .	78	86	50

^[a] EBRT = Empty bed residence time.

Biofiltros de lecho orgánico

Ventajas

- Tecnología sencilla
- Poco efluente líquido
- Baja inversión
- Bajo costo de operación
- Permite el tratamiento de contaminantes poco solubles en agua

Desventajas

- Proceso difícil de controlar
- No soporta altas cargas
- Las poblaciones microbianas pueden inhibirse
- Compactación => canalizaciones => baja eficiencia

Biofiltro de escurrimiento *Biotrickling filter*

- Reactor de biopelícula
- Capacidad de remoción (oxidación) depende de las poblaciones microbianas establecidas en la biopelícula
- Mediada por la transferencia de masa del contaminante desde la fase gaseosa a la "fase" biopelícula

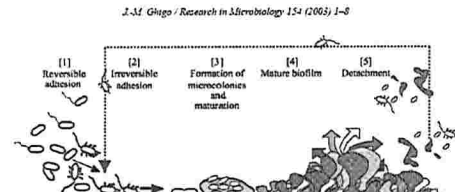
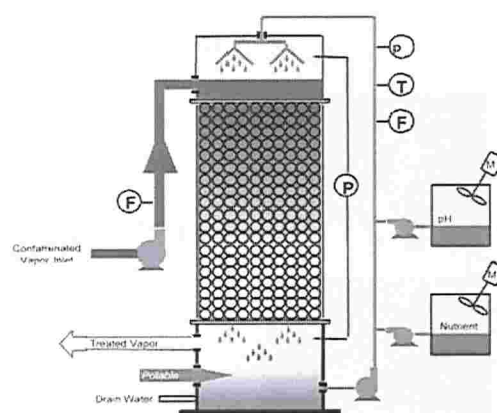
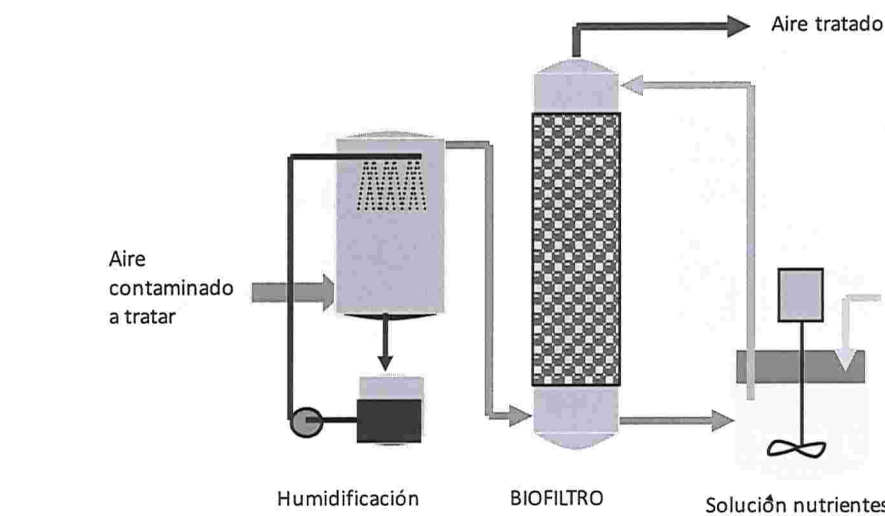


Fig. 1. Development of a bacterial biofilm: a model.

Biofiltros de Lecho Escurrido



G Aroca 2018

Tipo de soporte

The diagram illustrates different types of support structures used in packed towers:

- Anillos Raschig**: Represented by a photograph of several grey cylindrical rings.
- Tellerette**: Represented by a photograph of a dense packing of small, irregularly shaped supports.
- Berl Saddles**: Represented by a drawing of a saddle-shaped support.
- Sillas**: Represented by a drawing of a chair-shaped support.
- Intalox Saddles**: Represented by a drawing of a saddle-shaped support with a central hole.
- Anillos Pall**: Represented by a drawing of a cylindrical support with a complex internal structure.

G Aroca 2018

Empaques

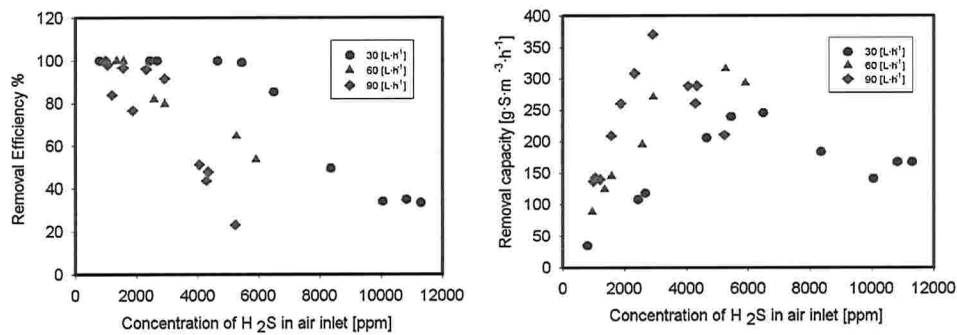
The diagram compares two types of packings:

- Empaque limpio**: Represented by a photograph of a dark, textured cylindrical packing.
- PVC- estructurado**: 223 m^{-1} : Represented by a value indicating the specific surface area of the structured PVC packing.
- Empaque colonizado**: Represented by a photograph of a dark, textured cylindrical packing with visible white biological colonies.

G Aroca 2018

Biooxidation of H₂S

Biofilm of *At. thioxidans*, pH 1.8-2.5



G. Aroca, P. Oyarzún, D. Nuñez. Removal of Hydrogen Sulfide in a Biotrickle Filter
5th International Conference on Biofiltration, October 31 and November 1, 2002, Newport Beach, California, USA

37

Biofiltros de Escr��imiento

Ventajas

- Permite un mejor control de las condiciones de operación
- Permite tratar en forma mas eficiente compuestos VOCs, nitrogenados y azufrados
- No genera desecho sólido de difícil disposición
- Altas eficiencias de remoción 95-98 %

Desventajas

- Problemas de oclusión por aumento desmedido de la biopelícula (EPS) →
 - Canalizaciones
 - Pérdida de eficiencia
- Son mas complejos de construir y operar que los biofiltros
- Efluente líquido para tratar, requiere de una PTR

38

Tecnologías Químicas

Absorción

G Aroca 2018

39

ABSORCION

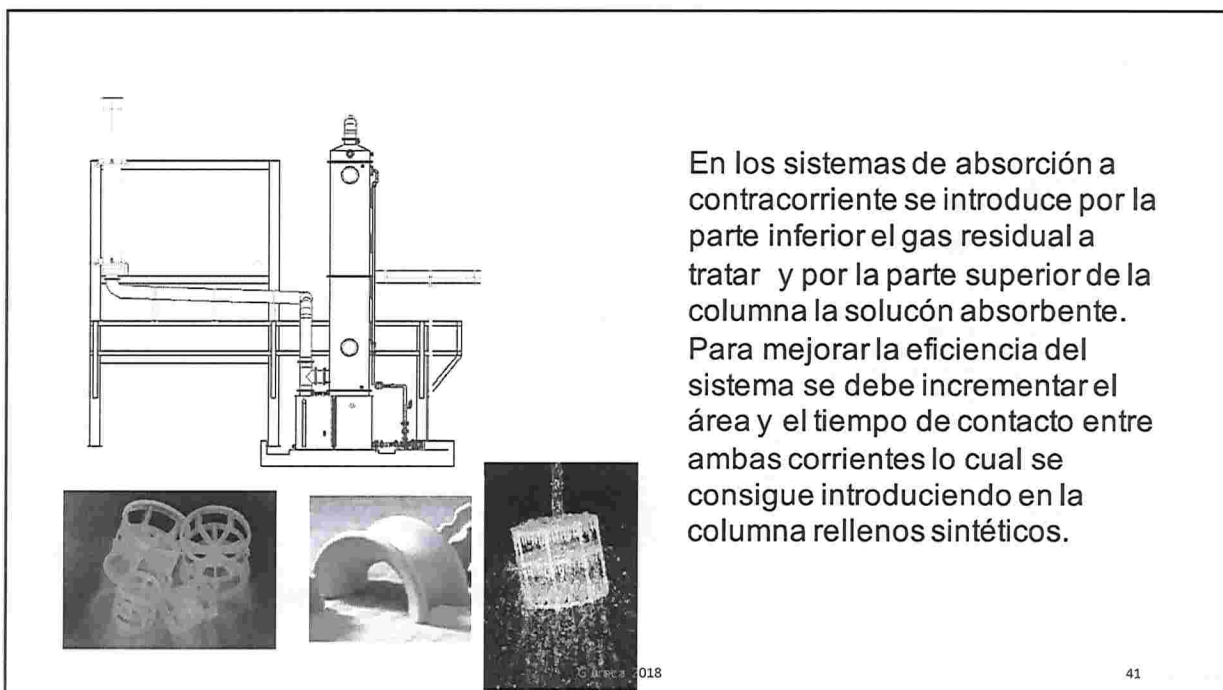
Sistemas de Lavado Químico (*Scrubbers*)

- Eficaz para tratar emisiones contaminadas con partículas y con compuestos polares como los compuestos inorgánicos H_2S , NH_3 , aminas, y de algunos Compuestos Orgánicos Volátiles hidrosolubles como el metanol, la acetona,...



G Aroca 2018

40

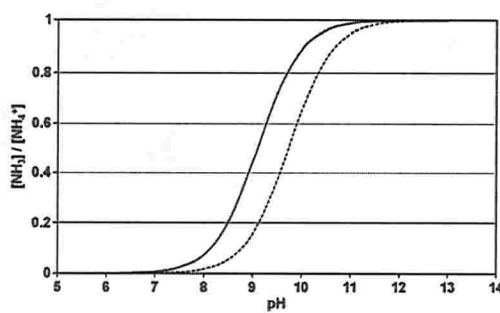


En los sistemas de absorción a contracorriente se introduce por la parte inferior el gas residual a tratar y por la parte superior de la columna la solución absorbente. Para mejorar la eficiencia del sistema se debe incrementar el área y el tiempo de contacto entre ambas corrientes lo cual se consigue introduciendo en la columna rellenos sintéticos.

41

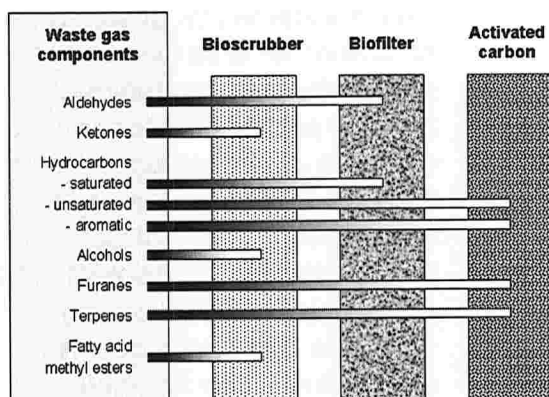
Lavador ácido *Acid scrubber*

- Eliminación de amoníaco
- Solución de lavado de H_2SO_4
- Eficiencias sobre 95 %



Scrubber spray

Sistemas multietapa para eliminar todos los componentes de la emisión (100 %).

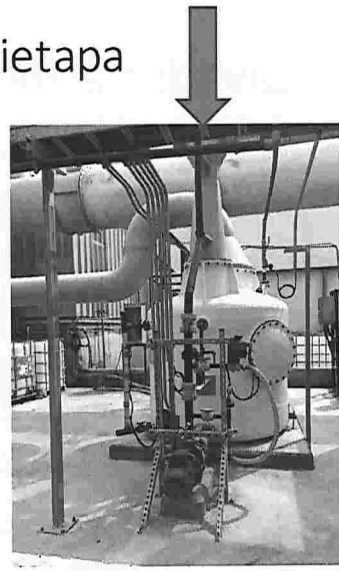


Schlegelmilch, M.; J. Streese, R. Stegmann. 2005.

G Aroca 2018

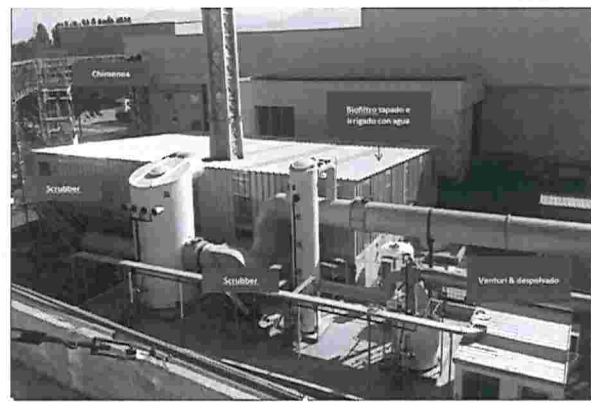
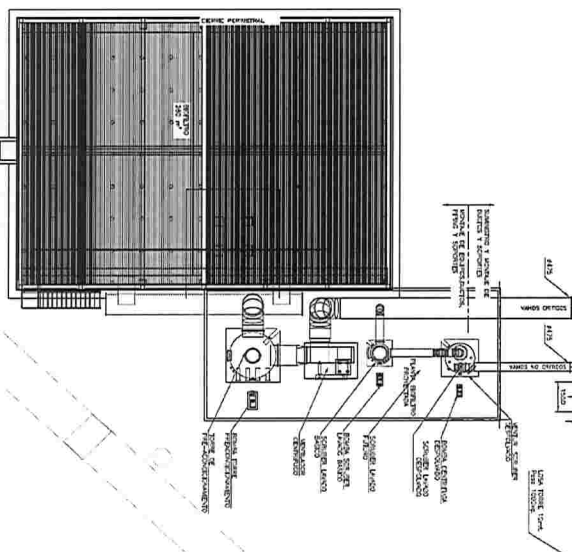
43

Sistema de Tratamiento de Olores Multietapa



Planta Sopraval , Nogales, V Región

Sistema de Tratamiento de Olores



Planta Sopraval , Nogales, V Región



PONTIFICIA
UNIVERSIDAD
CATÓLICA DE
VALPARAÍSO



Gracias por su atención !!

Prof. Germán Aroca A., Ph.D
Escuela de Ingeniería Bioquímica
Pontificia Universidad Católica de Valparaíso
German.Aroca@pucv.cl